

СПЕКТРАЛЬНАЯ СЕЛЕКЦИЯ В ИНЖЕКЦИОННЫХ ПКГ
С ПОМОЩЬЮ ДИФРАКЦИОННОЙ РЕШЕТКИ

Л. Аккерман, П. Г. Елисеев, М. А. Манько,
Э. Рааб, Чак Минь Тхай, А. В. Хайтаров, Н. Н. Шуйкин

УДК 543.42:621:378.325

Рассмотрена задача введения в резонатор инжекционного ПКГ спектрально селективных элементов с целью повышения временной когерентности излучения. Описаны эксперименты с ПКГ, в котором применена отражательная дифракционная решетка.

Повышение выходной мощности инжекционного ПКГ в одиноччастотном режиме достигается путем увеличения спектральной селективности резонатора ПКГ с помощью составных резонаторов /1/ и частотных фильтров в цепи обратной связи /2/. В настоящем сообщении приводятся результаты исследования ПКГ с дополнительной оптической обратной связью, создаваемой с помощью отражательной дифракционной решетки (ДР); в отличие от предшествующих работ /3,4/ изучены разные варианты введения ДР в резонатор и, кроме того, использованные образцы ПКГ не подвергались просветлению грани, что позволяло использовать селективность собственного резонатора ПКГ. Таким образом, влияние ДР сводится к избирательному повышению добротности собственных типов колебаний диода. Настройка ДР на частоту желаемого типа колебаний, а также дискретная перестройка частоты в пределах полосы усиления ПКГ, производились путем изменения наклона ДР к оптической оси резонатора. В одном варианте излучение ПКГ колленировалось линзой с целью засветки большого числа штрихов на ДР (см. рис. 1а). В другом варианте (см. рис. 2а) ДР являлась зеркалом составного резонатора /5-7/; в этом слу-

чае число освещенных штрихов ДР и избирательность отражения меньше, чем в первом варианте, но исключается дополнительная селективность составного резонатора.

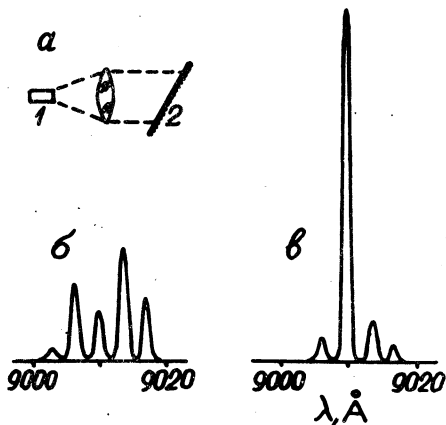


Рис. 1. Спектральная селекция с помощью дифракционной решетки в цепи внешней обратной связи. а) Оптическая схема: 1 - диод, 2 - дифракционная решетка. б) Спектр излучения при превышении порога на 20% в отсутствие внешней обратной связи. в) Спектр излучения при той же накачке с внешней обратной связью, настроенной в резонанс с одним из внутренних продольных типов колебаний диода (9010 \AA). $T = 300^\circ\text{K}$, длина резонатора диода 250 мкм, длина внешней цепи вдоль оси резонатора 250 мм, порог генерации 14 а.

Резонансная длина волны отражения ДР определяется формулой

$$\lambda = 2bs \sin \beta,$$
 (I)

где b - период решетки, β - угол между нормалью к решетке и осью резонатора. В схеме на рис. 1а отраженное монохроматическое излучение образует на зеркале пятно, ширина которого и форма, представленная функцией $F(x)$, зависят от числа освещенных штрихов решетки N , а также от качества использованного объектива.

Величина избирательного приращения добротности зависит от соотношения h и толщины активного слоя d . При $d < h$ она

может быть оценена по формуле

$$\Delta Q(\lambda) = \frac{Q^2(1 - R)\lambda}{2\pi RL} \left\{ \frac{\eta d}{Rb} F \left[\frac{(\lambda - \lambda_0)^2}{b^2 - \lambda_0^2/4} \right] \right\}^{1/2}, \quad (2)$$

где Q – добротность резонатора, η – эффективность ДР, f – фокусное расстояние объектива, L – длина резонатора диода, R – коэффициент отражения на торце диода. Можно показать, что избирательность такой цепи обратной связи ограничена шириной полосы примерно $0,5 \text{ \AA}$ (при $\lambda_0 = 3000 \text{ \AA}$ и $d \ll b$). Величина $\Delta Q/Q$ при оптимальной настройке в реальном случае составляет $2 \cdot 10^{-2} + 10^{-1}$. В этих условиях увеличение выходной мощности в одночастотном режиме G приближенно определяется выражением

$$G = \frac{\Delta Q}{4Q} \left(\frac{\Delta \lambda_g}{5\lambda} \right)^2, \quad (3)$$

где $\Delta \lambda_g$ – ширина полосы усиления. При $\eta = 0,5$, $b = 1,6 \text{ мкм}$, $L = 5 \cdot 10^{-2} \text{ см}$, $R = 0,32$ и при использовании объектива с разрешением 100 штрихов на мм G составляет примерно 20. В схеме

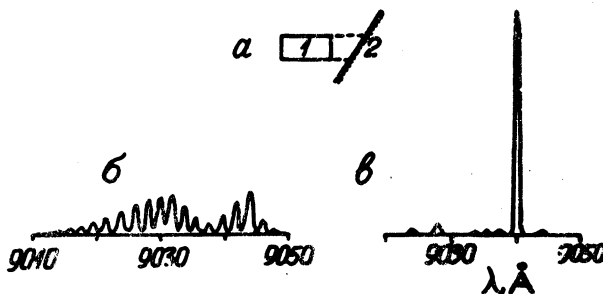


Рис. 2. Спектральная селекция с помощью дифракционной решетки в качестве элемента составного резонатора. а) Оптическая схема: 1 – диод, 2 – дифракционная решетка. б) Спектр излучения диода при превышении порога на 35% без составного резонатора. в) Спектр излучения при той же настройке в составном резонаторе при настройке его на один из внутренних продольных типов колебаний диода (9040 \AA). $T = 300^\circ\text{K}$, длина резонатора диода 500 мкм , длина воздушного промежутка вдоль оси резонатора 200 мкм , порог генерации $16,5 \text{ а}$

на рис. Iб ДР добавляет к периодической зависимости $Q(\lambda)$ составного резонатора непериодическую добавку вблизи желаемой длины волны, причем ширина этой полосы составляет 30–40 Å.

Опыты проведены с инжекционными ПКГ на GaAs при 77°K ($\lambda = 0,85\text{--}0,87$ мкм) и при 300°K ($\lambda = 0,89\text{--}0,91$ мкм), на основе гетероструктур и эпитаксиальных p-n переходов при $d = 2\text{--}3$ мкм. Использовались ДР с числом штрихов на мм 600 ($\beta \approx 16^\circ$) и 1200 ($\beta \approx 33^\circ$). Примеры эффективной спектральной селекции даны на рис. I и 2 для двух описанных выше вариантов селективных резонаторов с ДР. Наблюдалось увеличение интенсивности излучения в одном типе колебаний в 15–20 раз; спектральный интервал перестройки λ составил при 77°K более 60 Å вблизи $\lambda = 8600$ Å. Таким образом, введение ДР в цепь обратной связи позволяет значительно повысить когерентность излучения ПКГ и производить перестройку частоты генерации весьма простым способом в большом спектральном интервале.

Поступила в редакцию
20 февраля 1973 г.

Л и т е р а т у р а

1. П. Г. Елисеев, Ю. М. Попов, Н. Н. Шуйкин, ЖЭТФ 56, 1412, (1969).
2. Ю. М. Попов, Н. Н. Шуйкин. ФТП, 4, 45 (1970).
3. H. D. Edmonds, A. W. Smith. IEEE J. QE-6, 356 (1970).
4. R. Ludeke, E. P. Harris. Appl. Phys. Letts., 20, 499 (1972).
5. П. Г. Елисеев, И. Исмаилов, М. А. Манько, В. П. Страхов. Письма в ЖЭТФ, 9, 594 (1969).
6. П. Г. Елисеев, М. А. Манько. Краткие сообщения по физике ФИАН, № 4, 47, (1970).
7. Д. Акерман, П. Г. Елисеев, А. Кацлер, М. А. Манько, З. Рааб. Квантовая электроника, № I, 85, (1971).